

中华人民共和国医药行业标准

YY/T 0590. 1—2005/IEC 62220-1:2003

YY/T 0590. 1—2005/IEC 62220-1:2003

医用电气设备 数字 X 射线成像装置特性 第 1 部分:量子探测效率的测定

Medical electrical equipment—
Characteristics of digital X-ray imaging devices—
Part 1: Determination of the detective quantum efficiency

(IEC 62220-1:2003, IDT)

中华人民共和国医药
行业标准
医用电气设备 数字 X 射线成像装置特性
第 1 部分:量子探测效率的测定
YY/T 0590. 1—2005/IEC 62220-1:2003

*
中国标准出版社出版发行
北京复兴门外三里河北街 16 号

邮政编码:100045

网址 www.bzcbs.com

电话:68523946 68517548

中国标准出版社秦皇岛印刷厂印刷
各地新华书店经销

*

开本 880×1230 1/16 印张 1.5 字数 40 千字
2006 年 4 月第一版 2006 年 4 月第一次印刷

*

书号: 155066 · 2-16736 定价 14.00 元

如有印装差错 由本社发行中心调换

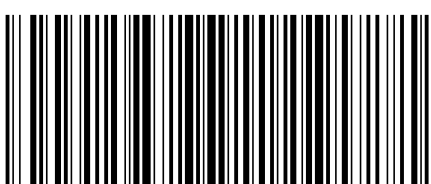
版权专有 侵权必究

举报电话:(010)68533533

2005-12-07 发布

2006-12-01 实施

国家食品药品监督管理局 发布



YY/T 0590. 1-2005

目 次

前言	I
引言	II
1 范围	1
2 规范性引用文件	1
3 术语和定义	1
4 要求	3
4.1 操作条件	3
4.2 X射线装置	3
4.3 辐射质量	3
4.4 试验器件	3
4.5 几何位置	4
4.6 辐照条件	6
5 未处理数据的校正	7
6 量子探测效率的测定	8
6.1 量子探测效率 $DQE(u, v)$ 的定义和计算公式	8
6.2 用于评估的参数	8
6.3 从图像中测量各参数	9
7 符合性声明的格式	11
8 准确度	12
附录 A (规范性附录) 余辉效应的测量	13
附录 B (规范性附录) 术语—已定义术语的索引	15
附录 C (资料性附录) 输入噪声功率谱的计算	17
参考文献	18
 图 1 试验器件	4
图 2 测量转换函数、噪声功率谱和 MTF 时, 对数字影像装置进行曝光拍照的几何设置	5
图 3 ROI 的排列分布	10
图 4 $DQE(u, v)$ 示范曲线, 不同空气比释动能	11
图 A.1 感兴趣区的定义	14
 表 1 测量 DQE 所使用的辐射质量(YY/T 0481)和相关参数	3
表 2 本部分指定使用的参数	8
表 3 测量结果表达格式	12

Med. Phys. , 1987, 14, p. 744-751.

CUNNINGHAM, IA. , in Standard for measurement of Noise Power Spectra, AAPM Report, December 1999

SAMEI, E. , FLYNN, MJ. , REIMANN, D. A. A method for measuring the presampled MTF of digital radiographic system using an edge test device. Med. Phys. , 1998, 25, p. 102-113.

GRANFORS, PR. , AUFRICHTIG, R. DQE(f) of an Amorphous Silicon Flat Panel X-ray Detector: Detector Parameter influences.

CUNNINGHAM, IA. , Degradation of the Detective Quantum Efficiency due to a Non-Unity Detector Fill Factor. Proceedings SPIE, 3032, 1997, p. 22-31.

SIEWERDSEN, JH. , ANTONUK, LE. , EL-MOHRI, Y. , YORKSTON, J. , HUANG. W. , and CUNNINGHAM, IA. , Signal, noise power spectrum, and detective quantum efficiency of indirect-detection flat-panel imagers for diagnostic radiology. Med. Phys. , 1998, 25, p. 614-628.

DOBBINS III, JT. Effects of undersampling on the proper interpretation of modulation transfer function, noise power spectra, and noise equivalent quanta of digital imaging systems. Med. Phys. , 1995, 22, p. 171-181.

DOBBINS III, JT. ERGUN, DL. , RUTZ, L. , HINSHAW, DA. , BLUME, H. , and CLARK, DC. DQE(f) of four generation of computed radiography acquisition device. Med. Phys. , 1995, 22, p. 1581-1593.

SAMEI, E. , FLYNN, MJ. , CHOTAS, H. G. , DOBBINS III, JT. DQE of direct and indirect digital radiographic systems. Proceedings of SPIE, Vol. 4320, 2001, p. 189-197.

IEC 61262-5:194, Medical electrical equipment —Characteristics of electro-optical X-ray image intensifiers —Part 5: Determination of the detective quantum efficiency

ISO 12233:2000, Photography —Electronic still-picture cameras —Resolution measurements

ISO 15529:1999, Optics and optical instruments —Optical transfer function —Principles of measurement of modulation transfer function(MTF) of sampled imaging systems

ICRU Report 41, 1986: Modulation Transfer Function of Screen-Film-Systems

DOBBINS III, JT. Image Quality Metrics for Digital Systems. In: Handbook of Medical Imaging, Vol. 1, by J. Beutel, H. L. Kundel, and R. L. Van Metter, SPIE Press, 2000.

参 考 文 献

所参考的公开出版物：

- [1] ICRU 报告 54:1996, 医学影像——影像质量的评估
- [2] ISO 测量不确定度实用指南
- [3] METZ, EC., WAGNER, RF., DOI, K., BROWN, DG., NISHKAWA, RM., MYERS, KJ. Toward consensus on quantitative assessment of medical imaging system. MED. Phys., 1995, 22, p. 1057-1061.
- [4] BEUTEL, J, KUNDEL, HL., VAN METTER, RL. Editor: Handbook of medical imaging. Vol. 1: Physics and Psychophysics. SPIE, 2000.
- [5] TAPIOVAARA, MJ. And WAGNER, RF. SNR and DQE analysis of broad spectrum X-ray imaging. Phys. Med. Biol., 1985, 30, p. 519-529, and corrigendum Phys. Med. Biol. 1986, 31, p. 195.
- [6] CUNNINGHAM, IA, and FENSTER, A. A method for modulation transfer function determination from edge profiles with correction for finite-element differentiation. MED. Phys. 14, 1987, p. 533-537.
- [7] SPEVAL software package version of Jan. 1995 (H. Kramer of PTB)
- [8] ILES, WJ. Computation of bremsstrahlung X-ray spectra over an energy range 15kV to 300kV. National Radiological Protection Board Report 204, London, HMSO, 1987
- [9] HIGGINS, PD. et al. Mass Energy-Transfer and Mass Energy-Absorption Coefficients, Including In-Flight Positron Annihilation for Photon Energies 1keV to 100MeV. NISTIR 4812, National Institute of Standards and Technology, Gaithersburg USA(1992).
- [10] BERGER, MJ. and Hubbell, JH. XCOM: Photon Cross Sections Database, NIST Standard Reference Database 8, National Institute of Standards and Technology, Gaithersburg USA.

其他相关文献

DAINTY, JC. and SHAW, R. Image Science. Academic Press, London, 1974, ch. 5, p. 153

DAINTY, JC. and SHAW, R. Image Science. Academic Press, London, 1974, ch. 8, p. 312

DAINTY, JC. and SHAW, R. Image Science. Academic Press, London, 1974, ch. 8, p. 280

SHAW, R. The Equivalent Quantum Efficiency of Photographic Process. J. Ph. Sc., 1963, 11, p. 199-204.

STIERSTORFER, K., SPAHN, M. Self-normalizing method to measure the detective quantum efficiency of wide range of X-ray detectors. Med. Phys., 1999, 26, p. 1312-1319.

HILLEN, W., SCHIEBEL, U., ZAENGEL, T. Imaging performance of digital phosphor system.

前 言

YY/T 0590《医用电气设备 数字 X 射线成像装置特性》规定了数字 X 射线成像装置的特性。本部分是 YY/T 0590 的第 1 部分, 本部分与 IEC 62220-1:2003《医用电气设备——数字 X 射线成像装置特性——第 1 部分: 量子探测效率的测定》的一致性程度为等同, 主要差异如下:

- 对原文中的一些编辑错误进行了修改(附录 A 第 A.9 章);
- 将一些适用于国际标准的表述改为适用于我国标准的表述;
- 删除了国际标准的前言。

本部分的附录 A、附录 B 为规范性附录, 附录 C 为资料性附录。

本部分由国家食品药品监督管理局提出。

本部分由全国医用 X 线设备及用具标准化分技术委员会归口。

本部分主要起草单位: 中国人民解放军总医院、辽宁省医疗器械产品质量监督检验所。

本部分主要起草人: 唐东生、陈勇。